

Gravitationswellen und deren Nachweis

Dr. Werner Becker

Max-Planck Institut für extraterrestrische Physik

Giessenbachstrasse 1, 82041 Garching

web@mpe.mpg.de

<http://www.xray.mpe.mpg.de/~web>

Gravitationswellen und deren Nachweis

1.) Die Wellengleichung

- Die linearisierten Feldgleichungen, Lorentz-Eichung

2.) Eigenschaften von Gravitationswellen

- Untersuchung der homogenen Wellengleichung
- Wirkung auf frei fallende Testmassen, Polarisationsmoden

3.) Quellen von Gravitationswellen

- Untersuchung der inhomogenen Wellengleichung, Quadrupolformel

4.) Indirekter Nachweis von Gravitationswellen

- Der Binärpulsar PSR 1913+16, Nobelpreis 1993

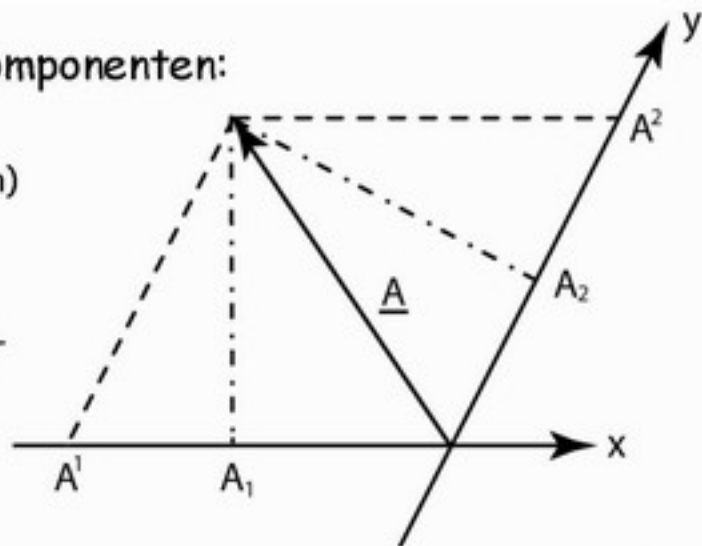
5.) Die aktuellen Experimente

- Laser-Interferometer Experimente und Resonanzantennen

Nomenklatur:

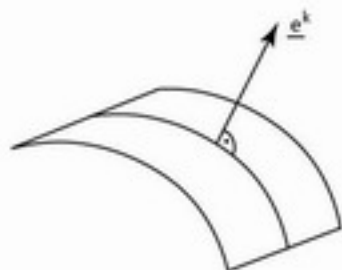
Ko- und kontravariante Vektor-/Tensorkomponenten:

- Unterscheidung typisch für Vektoren in (beliebigen) schiefwinkligen Koordinatensystemen
- entsprechend den verschiedenen Konstruktionsmöglichkeiten für Basisvektoren in beliebigen Koordinatensystemen



- Kovariante Vektorkomponenten: A_k beziehen sich auf die reziproke Vektorbasis

- Kontravariante Vektorkomponenten: A^k beziehen sich auf die Tangentialbasis



$$\underline{A} = A_k \underline{e}^k$$

$$\frac{\partial \varphi}{\partial x^i} = \frac{\partial x'^k}{\partial x^i} \frac{\partial \varphi}{\partial x'^k}$$

$$\underline{A} = A^k \underline{e}_k$$

$$dx^i = \frac{\partial x^i}{\partial x'^k} dx'^k$$



Nomenklatur:

- Vierer-Ortsvektor: $(x^0, x^1, x^2, x^3)^T = (ct, x, y, z)^T$ x^i : $i=0,1,2,3$

$$(x_0, x_1, x_2, x_3)^T = (ct, -x, -y, -z)^T$$

- Transformation zwischen ko- und kontravarianten Komponenten:

$$x^n = g^{nk} x_k \qquad x_k = g_{kn} x^n$$



Metrik-Tensor (Signatur: + - - -)

- Über gleiche Indizes wird summiert: $A^k A_k = A^0 A_0 + A^1 A_1 + A^2 A_2 + A^3 A_3$

- Partielle Ableitung nach der Koordinate x^n : $\frac{\partial}{\partial x^n} A^k \equiv \partial_n A^k \equiv A^k_{,n}$

Der Raum ist nicht Schauplatz des physikalischen Geschehens, sondern ein Aspekt der Wechselwirkung und der Bewegung der Materie:

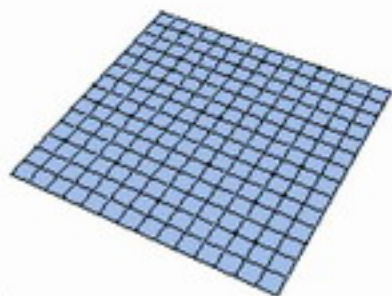
• Die Materie bestimmt die Krümmung des Raumes

• Der Raum bestimmt die Bewegung der Materie

• Alle Materie in Bewegung, Geometrie der Raumzeit ändert sich ständig

• Gravitationsfeld: Veränderung der Metrik von Raum und Zeit

Raum ohne
Masse



keine Krümmung
(Pseudo-Euklidischer Raum)

$$ds^2 = \eta_{ik} dx^i dx^k$$

„Flachraum“-
Metrik

$$\eta_{ik} = \begin{pmatrix} 1 & 0 & 0 & 0 \\ 0 & -1 & 0 & 0 \\ 0 & 0 & -1 & 0 \\ 0 & 0 & 0 & -1 \end{pmatrix}$$

Der Raum ist nicht Schauplatz des physikalischen Geschehens, sondern ein Aspekt der Wechselwirkung und der Bewegung der Materie:

• Die Materie bestimmt die Krümmung des Raumes

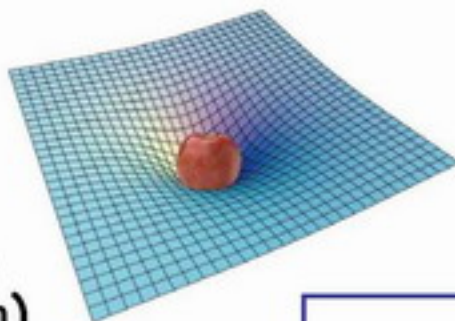
• Der Raum bestimmt die Bewegung der Materie

• Alle Materie in Bewegung, Geometrie der Raumzeit ändert sich ständig

• Gravitationsfeld: Veränderung der Metrik von Raum und Zeit

Masse

= Raumkrümmung
(Riemannscher Raum)



$$ds^2 = g_{ik} dx^i dx^k$$

allgemeiner Metrik-Tensor:

$$g_{ik}(x^0, x^1, x^2, x^3)$$

ist die das Gravitationsfeld beschreibende Größe

- Einsteinschen Feldgleichungen:

$$R_{ik} - \frac{1}{2} g_{ik} R = \frac{8\pi G}{c^4} T_{ik} + \Lambda g_{ik}$$

Ricci-Tensor: $R_{ik} = \Gamma^l_{ik,j} - \Gamma^l_{il,k} + \Gamma^l_{ik} \Gamma^m_{lm} - \Gamma^m_{il} \Gamma^l_{km}$

Krümmungsskalar: $R = g^{ik} R_{ik}$

Energie-Impuls-Tensor

Christoffel-Symbol: $\Gamma^l_{nk} = \frac{1}{2} g^{lj} (g_{jn,k} - g_{nk,j} + g_{jk,n})$

Nichtlineares gekoppeltes Differentialgleichungssystem zur Bestimmung der 6 unabhängigen Komponenten des Metrik-Tensors, der 3 unabhängigen Komponenten der 4er Geschwindigkeit sowie der Materiedichte (bzw. des Drucks).

Größe relativistischer Effekte: $\rightarrow 8\pi G/c^4 = 2 \times 10^{-43} \text{ [1/N]}$

- Beitrag der Sonne zur Raumkrümmung: 10^{-6}
- Beitrag der Erde zur Raumkrümmung: 10^{-9}

Annahme:

Metrik des Raumes weicht nur wenig von der des euklidisch-flachen Raumes ab:

$$g_{ik} = \eta_{ik} + h_{ik} \quad h_{ik} \ll 1$$

$$g^{ik} = \eta^{ik} - h^{ik} \quad h^k_i = \eta^{kl} h_{il}$$

- Entkopplung der Feldgleichungen durch Linearisierung:
 - Vernachlässigung aller Terme höherer als von erster Ordnung in h_{ik} sowie in deren Ableitungen
 - Nebeneffekt: in der linearisierten Theorie hat das Gravitationsfeld keine Rückwirkung auf die Bewegung der felderzeugenden Materie mehr (d.h. keine Retardierung!)

- Linearisierte Feldgleichungen:

$$-\bar{h}_{mn}{}^{,l}{}_{,l} - \eta_{mn} \bar{h}{}^{lk}{}_{,lk} + \bar{h}{}^l{}_{n,ml} + \bar{h}{}^l{}_{m,nl} = \frac{16\pi G}{c^4} T_{mn}$$

$$\bar{h}_{mn} \equiv h_{mn} - \frac{1}{2} \eta_{mn} h$$

- Weitere Vereinfachung durch geeignete Wahl des Koordinatensystems (Eichinvarianz), reduziert die Feldgleichungen bis auf den ersten Term

$$\rightarrow -\bar{h}_{mn}{}^{,l}{}_{,l} = -\partial^l \partial_l \bar{h}_{mn} = -\eta^{lk} \partial_k \partial_l \bar{h}_{mn} = -\eta^{lk} \frac{\partial^2}{\partial x^k \partial x^l} \bar{h}_{mn} = \left(-\frac{1}{c^2} \frac{\partial^2}{\partial t^2} + \Delta \right) \bar{h}_{mn}$$

- Wellengleichung:

$$\left(-\frac{1}{c^2} \frac{\partial^2}{\partial t^2} + \Delta \right) \bar{h}_{mn} = \frac{16\pi G}{c^4} T_{mn}$$

Gravitationswellen und deren Nachweis

1.) Die Wellengleichung

- Die linearisierten Feldgleichungen, Lorentz-Eichung

2.) Eigenschaften von Gravitationswellen

- Untersuchung der homogenen Wellengleichung
- Polarisationsmoden, Wirkung auf frei fallende Testmassen

3.) Quellen von Gravitationswellen

- Untersuchung der inhomogenen Wellengleichung, Quadrupolformel

4.) Indirekter Nachweis von Gravitationswellen

- Der Binärpulsar PSR 1913+16, Nobelpreis 1993

5.) Die aktuellen Experimente

- Laser-Interferometer Experimente und Resonanzantennen

- Allgemeine Lösung der homogenen Wellengleichung lässt sich durch eine Superposition von ebenen monochromatischen Wellen darstellen:

$$\bar{h}_{mn} = A_{mn} \exp(ik_i x^i)$$

$$x^i = (ct, \underline{r})$$

$$k_i = \left(\frac{\omega}{c}, \underline{k} \right) = \left(\frac{\omega}{c}, -\frac{\omega}{c} \underline{n} \right)$$

$$\begin{pmatrix} 0 & 0 & 0 & 0 \\ 0 & h_{11} & h_{12} & 0 \\ 0 & h_{12} & -h_{22} & 0 \\ 0 & 0 & 0 & 0 \end{pmatrix}$$

Polarisationstensor (z.B. Welle in z-Richtung)

nur 2 unabhängige Polarisationszustände unter Berücksichtigung aller Eichtransformationen

(transversale spurlose Eichung)

$$k_i k^i = 0 \quad \rightarrow \quad \bullet \text{ Wellenvektor ist Nullvektor}$$

$$A_{im} k^m = 0 \quad \rightarrow \quad \bullet \text{ A orthogonal zu K } \text{Gravitationswellen transversal}$$

- Gravitationswellen breiten sich mit Lichtgeschwindigkeit aus, sie sind transversal und besitzen zwei Freiheitsgrade der Polarisation

- Ebene Welle in Z-Richtung:

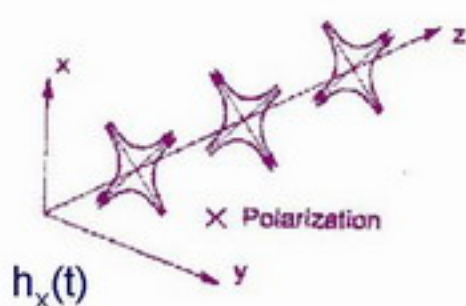
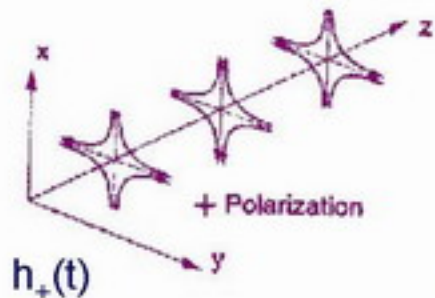
$$h_{mn} = (h_+ e_+ + h_x e_x) e^{i\omega(t-z/c)}$$

$$\begin{pmatrix} 0 & 0 & 0 & 0 \\ 0 & 1 & 0 & 0 \\ 0 & 0 & -1 & 0 \\ 0 & 0 & 0 & 0 \end{pmatrix}$$

$$\begin{pmatrix} 0 & 0 & 0 & 0 \\ 0 & 0 & 1 & 0 \\ 0 & 1 & 0 & 0 \\ 0 & 0 & 0 & 0 \end{pmatrix}$$

Polarisations-
Einheitstensor

- Die beiden von einander unabhängige Polarisationszustände gehen durch Rotation um 45 Grad ineinander über:



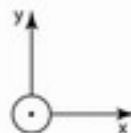
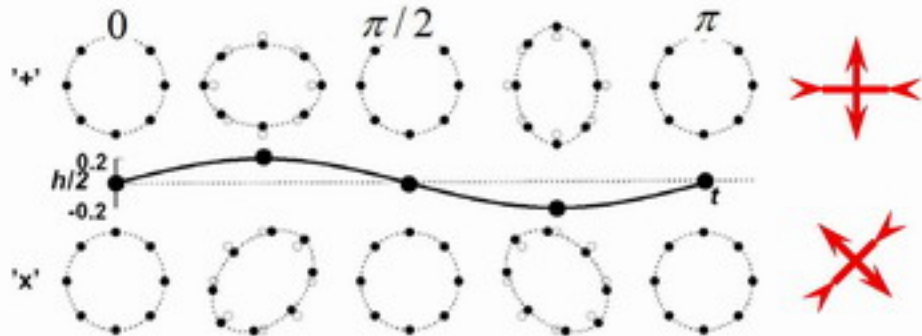
- Die Metrik "schwingt" periodisch in der xy-Ebene
- Relativbeschleunigung benachbarter Punkte durch Gezeitenkräfte

- Effekt der GW:

- Abstand zwischen zwei benachbarten Testmassen die in den Punkten $P_1 = (0,0,0)$ und $P_2 = (\varepsilon,0,0)$ mit $|\varepsilon| \ll 1$ ruhen.

(Tafel) \rightarrow
$$\int_{P_1}^{P_2} ds = \int_{P_1}^{P_2} |g_{ik} dx^i dx^k|^{\frac{1}{2}} = \int_0^\varepsilon |g_{xx}|^{\frac{1}{2}} dx \approx |g_{xx}(P_1)|^{\frac{1}{2}} \varepsilon \approx \left[1 + \frac{1}{2} \bar{h}_{xx}(P_1) \right] \varepsilon$$

- Gravitationswellen ändern die Distanz zwischen den Testmassen! $\frac{\Delta L}{L} = \frac{1}{2} h$
- Wirkung auf einen Ring von freien Testmassen:



Aufgetragen ist die Distanz (!) zwischen den Testmassen

Gravitationswellen und deren Nachweis

1.) Die Wellengleichung

- Die linearisierten Feldgleichungen, Lorentz-Eichung

2.) Eigenschaften von Gravitationswellen

- Untersuchung der homogenen Wellengleichung
- Wirkung auf frei fallende Testmassen, Polarisationsmoden

3.) Quellen von Gravitationswellen

- Untersuchung der inhomogenen Wellengleichung, Quadrupolformel

4.) Indirekter Nachweis von Gravitationswellen

- Der Binärpulsar PSR 1913+16, Nobelpreis 1993

5.) Die aktuellen Experimente

- Laser-Interferometer Experimente und Resonanzantennen

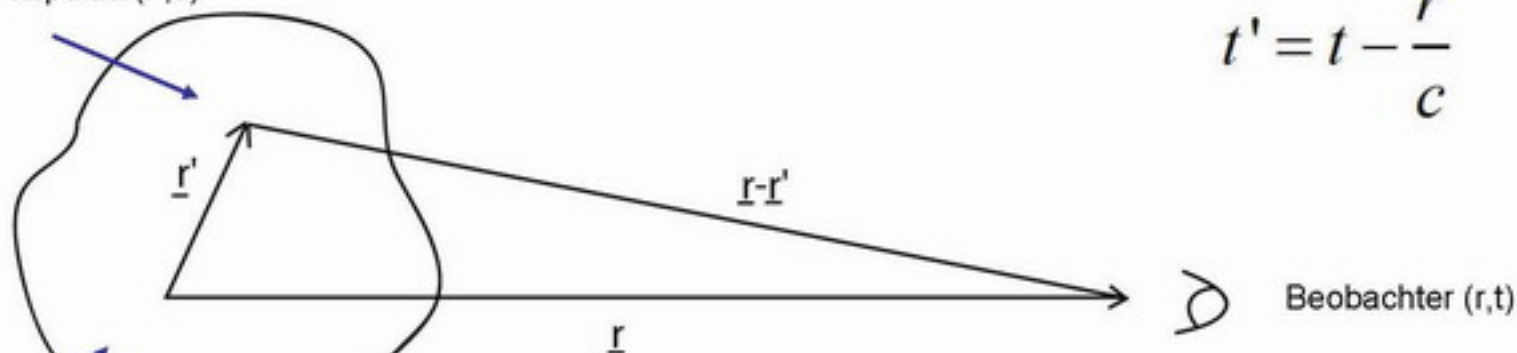
- Inhomogene Wellengleichung:
$$\left(-\frac{1}{c^2} \frac{\partial^2}{\partial t^2} + \Delta \right) \bar{h}_{ik} = \frac{16\pi G}{c^4} T_{ik}$$

- Die quellenmäßigen Lösungen der inhomogenen Wellengleichung sind die Greenschen „retardierten“ Potentiale:

$$\bar{h}_{ik}(\underline{r}, t) = -\frac{4G}{c^4} \int \frac{1}{r} T_{ik}(\underline{r}', t') d^3x' \quad r \approx |\underline{r} - \underline{r}'|$$

$$t' = t - \frac{r}{c}$$

Aufpunkt (r', t')




Inselförmige
Massenverteilung

Fernfeld, Abstand groß zur Wellenlänge
und Ausdehnung der Quelle

- alle Integrale über $T_{\alpha\beta}$ lassen sich durch Integrale ausdrücken die nur die Komponente T_{00} enthalten.

$$\rightarrow T_{00} = \rho(t', \underline{r}') c^2$$


 Massendichte

$$\rightarrow \bar{h}_{\alpha\beta}(t, \underline{r}) = -\frac{2G}{c^4 r} \frac{\partial^2}{\partial t^2} \int \underbrace{\rho(\underline{r}') x'^{\alpha} x'^{\beta} d^3 x'}_{\text{Lässt sich durch Quadrupoltensor ausdrücken}}$$

Lässt sich durch Quadrupoltensor ausdrücken

- Quadrupoltensor: $D_{\alpha\beta}(t, \underline{r}) \equiv \int \rho(\underline{r}') [3x'^{\alpha} x'^{\beta} - \delta_{\alpha\beta} r'^2] d^3 x'$

- Gravitationswellen: \sim Quadrupolstrahlung

$$\left. \begin{aligned}
 h_+(t) &\equiv \bar{h}_{11}(t, \underline{r}) - \bar{h}_{22}(t, \underline{r}) = -\frac{2G}{3c^4 r} [\ddot{D}_{11} - \ddot{D}_{22}] \\
 h_x(t) &\equiv \bar{h}_{12}(t, \underline{r}) = -\frac{2G}{3c^4 r} \ddot{D}_{12}
 \end{aligned} \right\} \begin{array}{l} \text{Amplituden} \\ \text{proportional } 1/r \end{array}$$

- Energieverlust des strahlenden Systems:

Quadrupolformel
(A.Einstein 1916)



$$-\frac{dE}{dt} = L_{GW} = \frac{G}{45c^5} \left\langle \sum_{\alpha=1}^3 \sum_{\beta=1}^3 \ddot{D}_{\alpha\beta} \ddot{D}_{\alpha\beta} \right\rangle$$

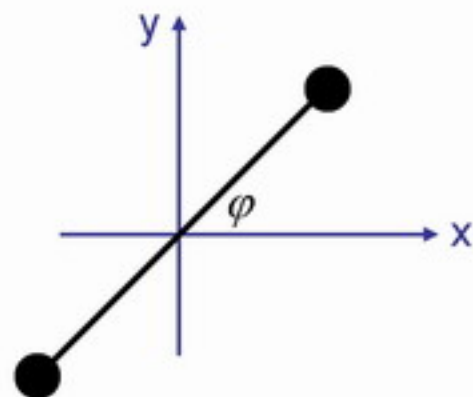
- Pfaller'scher Gravitationswellengenerator: Energieabstrahlung

$$-\frac{dE}{dt} = \frac{32}{5} \frac{G}{c^5} \Theta^2 \Omega^6 \quad \leftarrow \text{6. Potenz}$$

$$\Omega = \dot{\varphi} = 2\pi\nu = \frac{2\pi}{T}$$

$$\frac{G}{c^5} = 2.75 \times 10^{-53} \text{ (Watt)}^{-1}$$

$$r^2 \quad m_1 + m_2 \quad 2$$



- Wie groß ist die Strahlungsleistung?

$$\left. \begin{array}{l} \nu = 30 \text{ Hz} \rightarrow \Omega = 188.5 \text{ rad/s} \\ m_1 = m_2 = m = 100 \text{ g} \rightarrow \mu = 0.05 \text{ kg} \\ r = 0.2 \text{ m} \\ c = 3 \cdot 10^8 \text{ m/s} \quad G = 6.67 \cdot 10^{-11} \frac{\text{m}^3}{\text{kg s}^2} \end{array} \right\} \begin{array}{l} -\frac{dE}{dt} = 3.2 \cdot 10^{-44} \text{ Js}^{-1} \\ \frac{dN}{dt} = \frac{-dE/dt}{E_{\text{Graviton}}} = 8 \cdot 10^{-13} \text{ s}^{-1} \end{array}$$

$$E_{\text{Graviton}} = h\Omega_{\text{Gr}} = h(2\Omega)$$

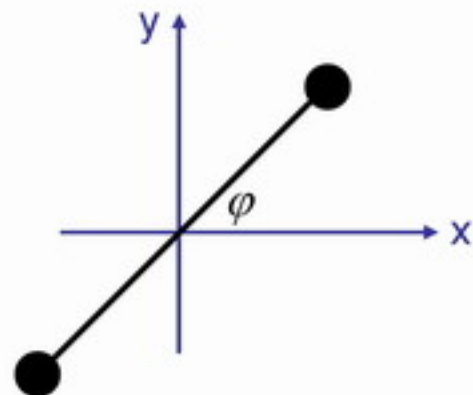
$$E_{\text{Graviton}} = 3.97 \cdot 10^{-22} \text{ J}$$

~ 1 Graviton
in 40000 Jahren

- Binärsystem: 2 NS auf Kreisbahn um gem. Schwerpunkt, Umlaufzeit 1h

3tes Keplersches Gesetz: $\Omega^2 = \frac{4\pi^2}{P_b} = \frac{GM}{a^3}$

$$M \equiv m_{NS} + m_{NS}$$



- Strahlungsleistung des Binärsystems:

$$m_{NS} = 1.4 M_{\odot} \quad M_{\odot} \approx 2 \cdot 10^{30} \text{ kg} \quad G = 6.67 \cdot 10^{-11} \frac{\text{m}^3}{\text{kg s}^2}$$

$$a \approx 5 \cdot 10^8 \text{ m} \quad \Omega = 1.74 \cdot 10^{-2} \text{ rad/s} \quad c \approx 3 \cdot 10^8 \text{ m/s}$$

$$\left. \begin{aligned} -\frac{dE}{dt} = \frac{32}{5} \frac{G}{c^5} \mu^2 a^4 \Omega^6 \end{aligned} \right\} \begin{aligned} -\frac{dE}{dt} &= 6.0 \cdot 10^{26} \text{ Js}^{-1} & E_{\text{Grav}} &= 3.48 \cdot 10^{-37} \text{ J} \\ \frac{dN}{dt} = \frac{-dE/dt}{E_{\text{Grav}}} &= 1.73 \cdot 10^{63} \text{ s}^{-1} & f_{\text{GW}} &= 1.44 \cdot 10^{25} \text{ s}^{-1} \text{m}^{-2} \\ & & d &= 320 \text{ Lj} \end{aligned}$$

Strahlungsleistung vergleichbar mit der der Sonne, wenn auch bei anderen Wellenlängen

- Binärsystem: 2 NS auf Kreisbahn um gem. Schwerpunkt, Umlaufzeit 1h

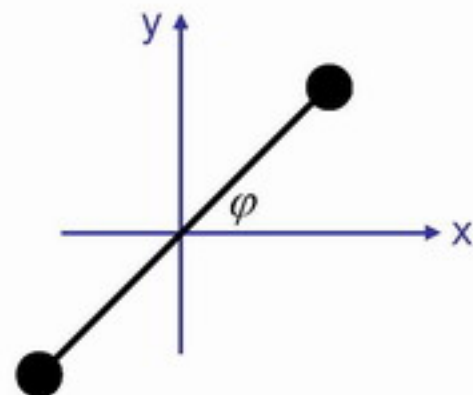
- Amplituden der GW-Welle:

$$h_+ = \frac{1}{r} \frac{8G}{c^4} \mu a^2 \Omega^2 \cos(2\Omega t)$$

$$h_x = \frac{1}{r} \frac{8G}{c^4} \mu a^2 \Omega^2 \sin(2\Omega t)$$

↑ Abstand Beobachter-Quelle

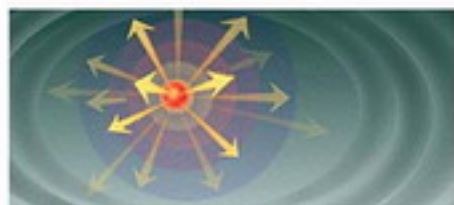
↑ Frequenz der GW = doppelte Umlauffrequenz



$$|h_x| = 2.26 \cdot 10^{-18} \quad \text{für einen Abstand Beobachter-Quelle von 320 Lj}$$

- Kosmische Quellen von Gravitationswellen:

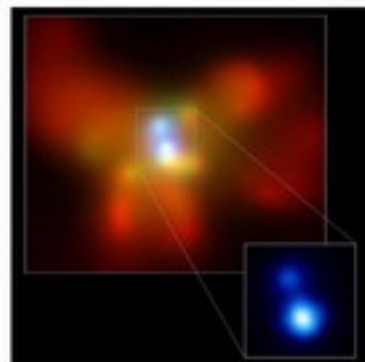
die energiereichsten und heftigsten Vorgänge im Universum



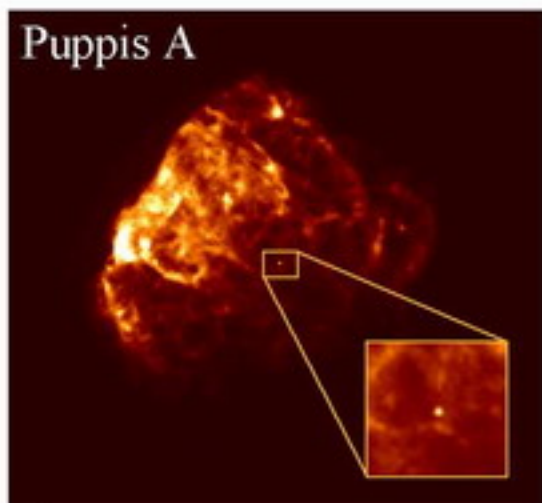
Urknall /Inflation



Doppelsternsysteme



Kollidierende superschwere
Schwarze Löcher



Supernovae
asymmetrischer Core-collapse



„bergige“
Neutronensterne



Akkretierende
Neutronensterne

- **Gravitationswellen von Supernovae:**
- verläuft der Core-collapse asymmetrisch, können bis zu $\sim 1\%$ der Gravitationsbindungsenergie in Form von GW abgestrahlt werden

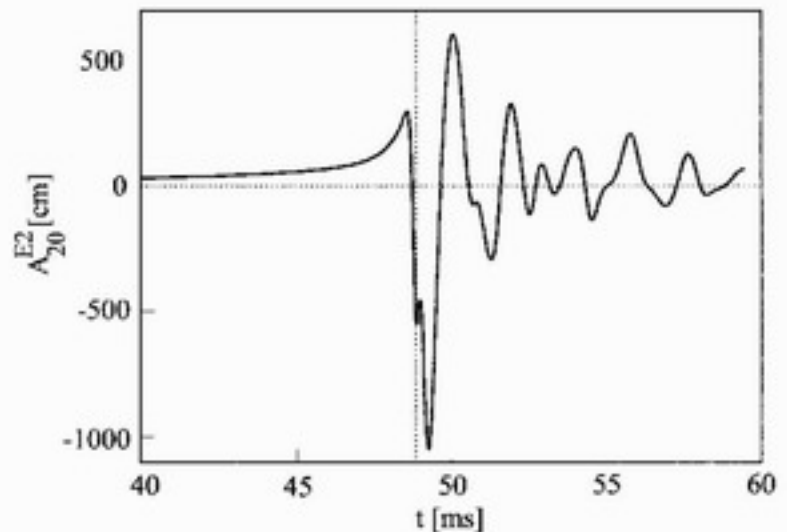
Signalform: Impuls, $f \sim 1$ kHz

z.B. berechnetes Signal für den Kollaps eines durch Rotation abgeplatteten Sterns:

GW-Stärke und Häufigkeit:

$h \sim 10^{-18}$ in der Milchstraße

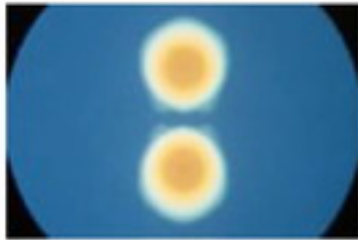
$h \sim 10^{-21}$ im Virgo-Cluster
Rate: einige pro Jahr



T. Zwerger, E. Müller 1997

Kenntnis der Signalform wichtig
(Templates für die Detektion)

• Gravitationswellen von kompakten Binärsystemem



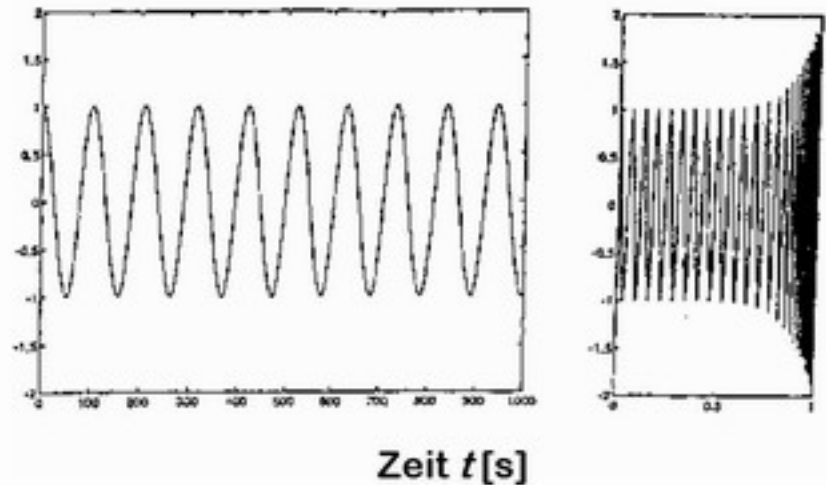
- Zwei Neutronensterne oder Schwarze Löcher, die einander umkreisen und schließlich verschmelzen
- Amplitude und Wellenform sind sehr gut bekannt

Signalform: quasi-periodisch,
 $f \sim 100$ Hz, Endphase „zirpsen“

GW-Stärke:

$h \sim 10^{-18}$ in der Milchstraße
 $h \sim 10^{-21}$ im Virgo-Cluster

Rate der Verschmelzungen:
einige pro Jahr



Gravitationswellen und deren Nachweis

1.) Die Wellengleichung

- Die linearisierten Feldgleichungen, Lorentz-Eichung

2.) Eigenschaften von Gravitationswellen

- Untersuchung der homogenen Wellengleichung
- Wirkung auf frei fallende Testmassen, Polarisationsmoden

3.) Quellen von Gravitationswellen

- Untersuchung der inhomogenen Wellengleichung, Quadrupolformel

4.) Indirekter Nachweis von Gravitationswellen

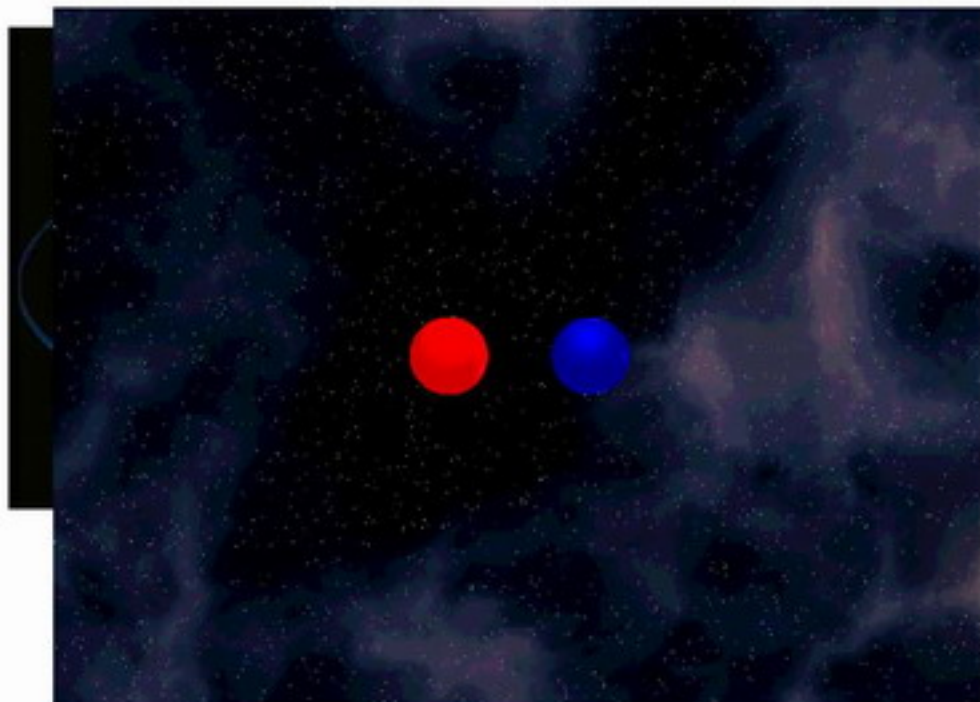
- Der Binärpulsar PSR 1913+16, Nobelpreis 1993

5.) Die aktuellen Experimente

- Laser-Interferometer Experimente und Resonanzantennen

Das Binärpulsar-System PSR 1913+16

- 2 NS (1.4 M_{\odot})
- Abstand 6.5 L_s
- $P_b = 7\text{h } 45\text{min}$
- $e = 0.62$
- $P_{\text{PSR}} = 59\text{ ms}$
- Entf. $\sim 19000 L_j$



- Pulsar-Timing: \rightarrow Zeiten des Periastrondurchgangs ändern sich
- Verkleinerung des Abstandes beider NS von 3mm pro Orbit

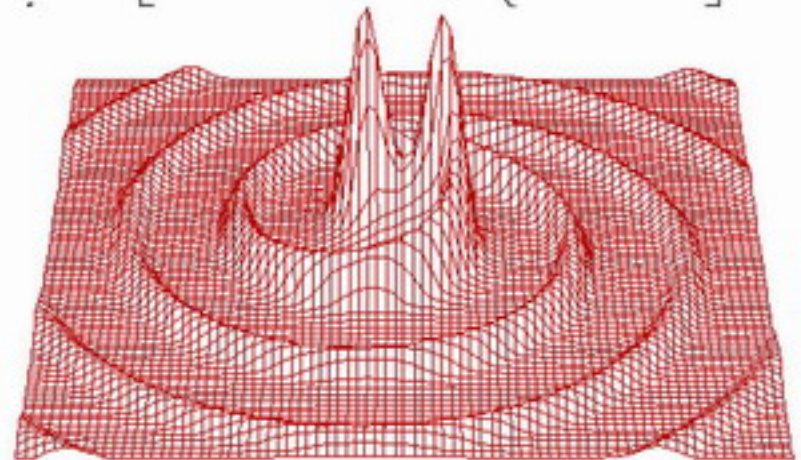
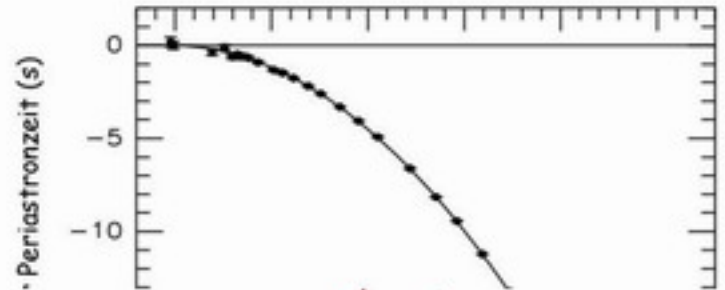
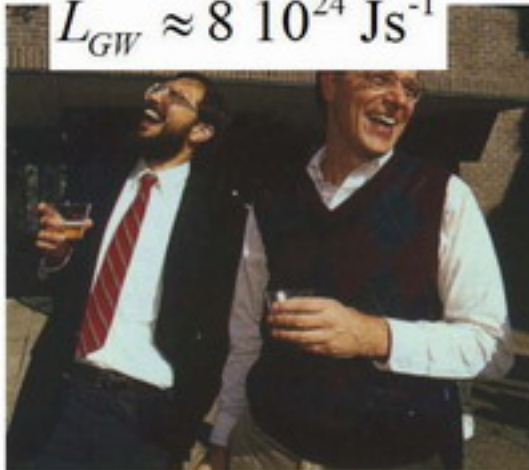
→ Verkürzung der Bahnperiode

$$\dot{P}_{b_{GW}} = (-2.40247 \pm 0.00002) \times 10^{-12} \text{ s/s}$$

$$\dot{P}_{b_{obs}} = (-2.4086 \pm 0.0052) \times 10^{-12} \text{ s/s}$$

$\Delta \tau_p$ stimmt mit dem Wert überein, den die Allgemeine Relativitätstheorie vorhersagt (auf < 1 %).

$$L_{GW} \approx 8 \cdot 10^{24} \text{ Js}^{-1}$$



Jahre

**Indirekter Nachweis von
Gravitationswellen !**

Nobelpreis für Physik 1993

Joseph Weber (1919 - 2000)

Der Pionier der GW-Forschung:



Resonanzantennen („Weber-Zylinder“)

Nachteil: nur geringe Nachweisempfindlichkeit, schmalbandig, $f \sim 1$ kHz

Gravitationswellen und deren Nachweis

1.) Die Wellengleichung

- Die linearisierten Feldgleichungen, Lorentz-Eichung

2.) Eigenschaften von Gravitationswellen

- Untersuchung der homogenen Wellengleichung
- Wirkung auf frei fallende Testmassen, Polarisationsmoden

3.) Quellen von Gravitationswellen

- Untersuchung der inhomogenen Wellengleichung, Quadrupolformel

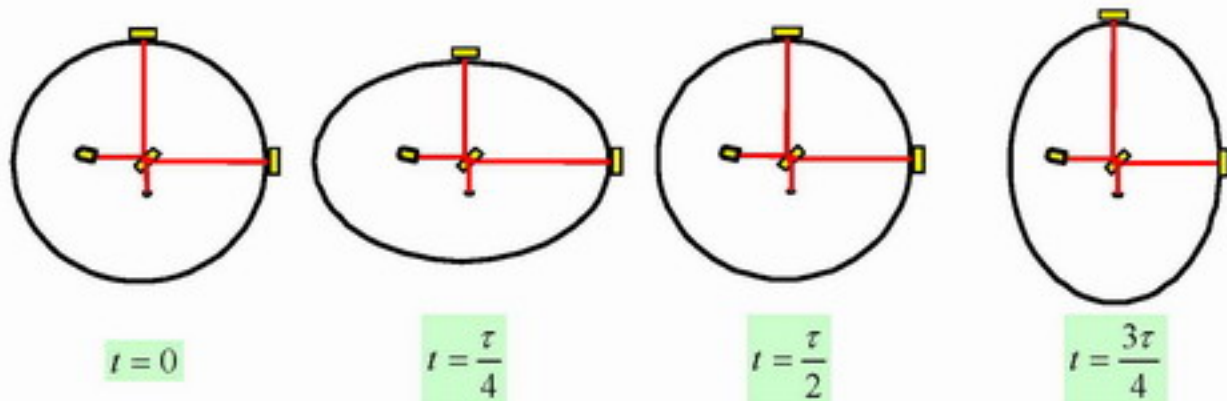
4.) Indirekter Nachweis von Gravitationswellen

- Der Binärpulsar PSR 1913+16, Nobelpreis 1993

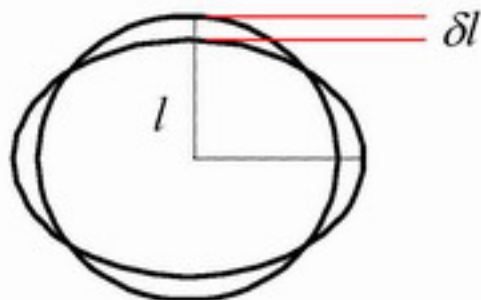
5.) Die aktuellen Experimente

- Laser-Interferometer Experimente (und Resonanzantennen)

- Nachweisprinzip der Laser-Interferometer Antennen:



Strahlteiler und Spiegel dienen als Testmassen

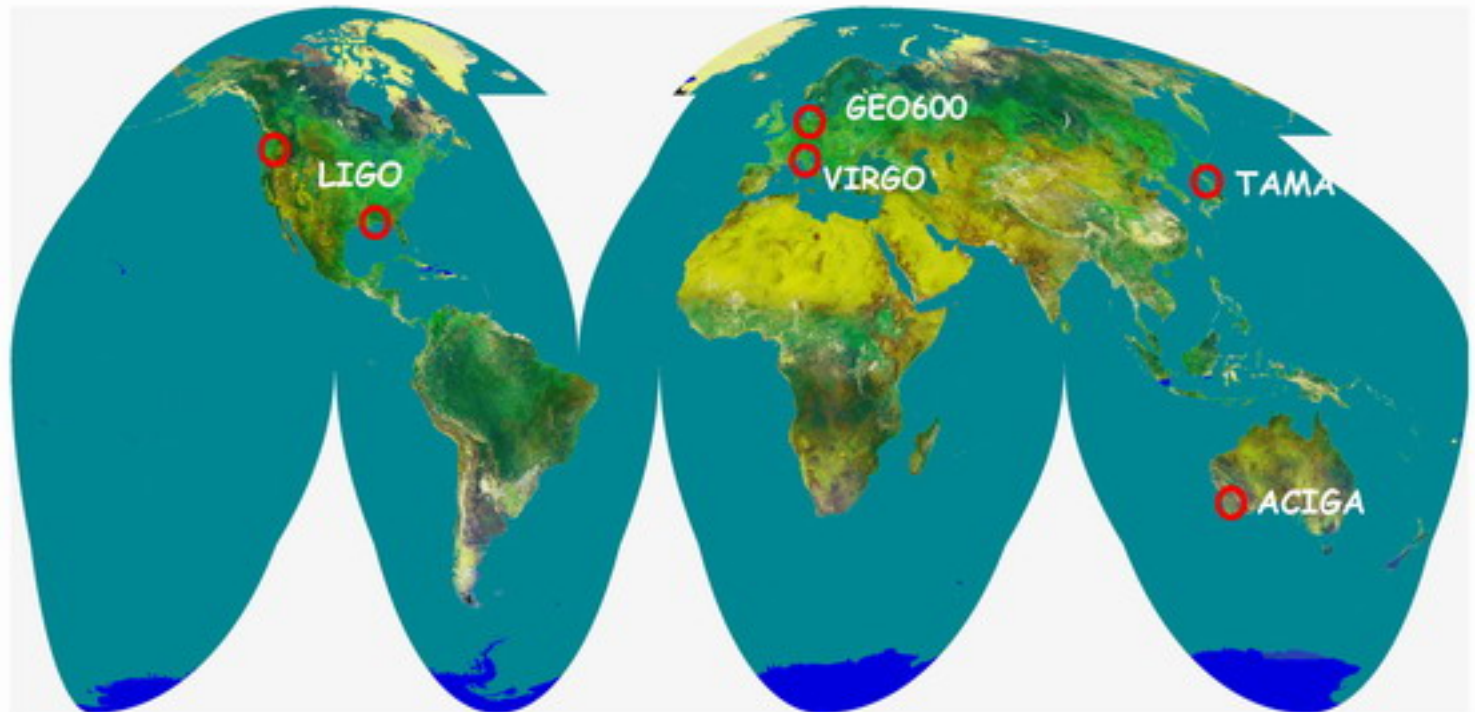


- messbare Längenänderung

$$\delta l = \frac{h}{2} l$$

Proportional zur Länge

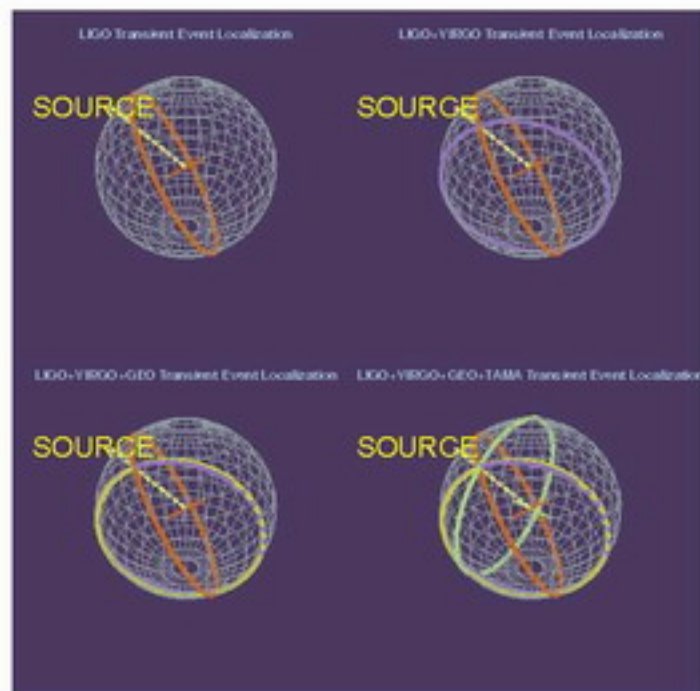
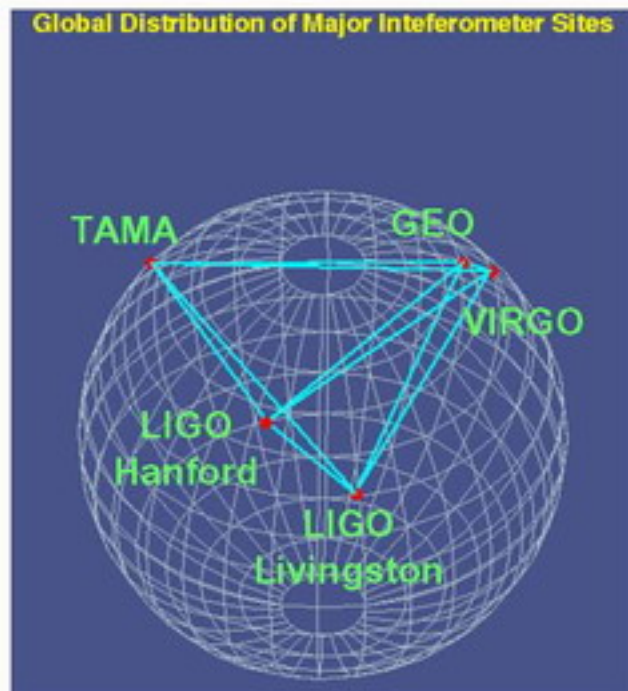
- Weltweites Netzwerk von Gravitationswellendetektoren



Laser-
Interferometerantennen

LIGO (USA)	: 4 km Armlänge	(Messbeginn 2001/2002)
GEO 600 (D/GR)	: 600m Armlänge	(Messbeginn 2001/2002)
VIRGO (I/FR)	: 3 km Armlänge	(Messbeginn ~ 2003+)
TAMA (Japan)	: 300m Armlänge	(Messbeginn 2000)

- Interferometer-Netzwerk:



- Notwendig zur Verifizierung des Signals durch Koinzidenzmessungen!
- Erforderlich für Richtungsempfindlichkeit und „Ortsauflösung“ (Triangulation)

GEO 600

Beteiligte Institutionen:

MPI für Gravitationsphysik, Golm und
Hannover

MPI für Quantenoptik, Garching

Universität Hannover

University of Glasgow

Cardiff University

600m

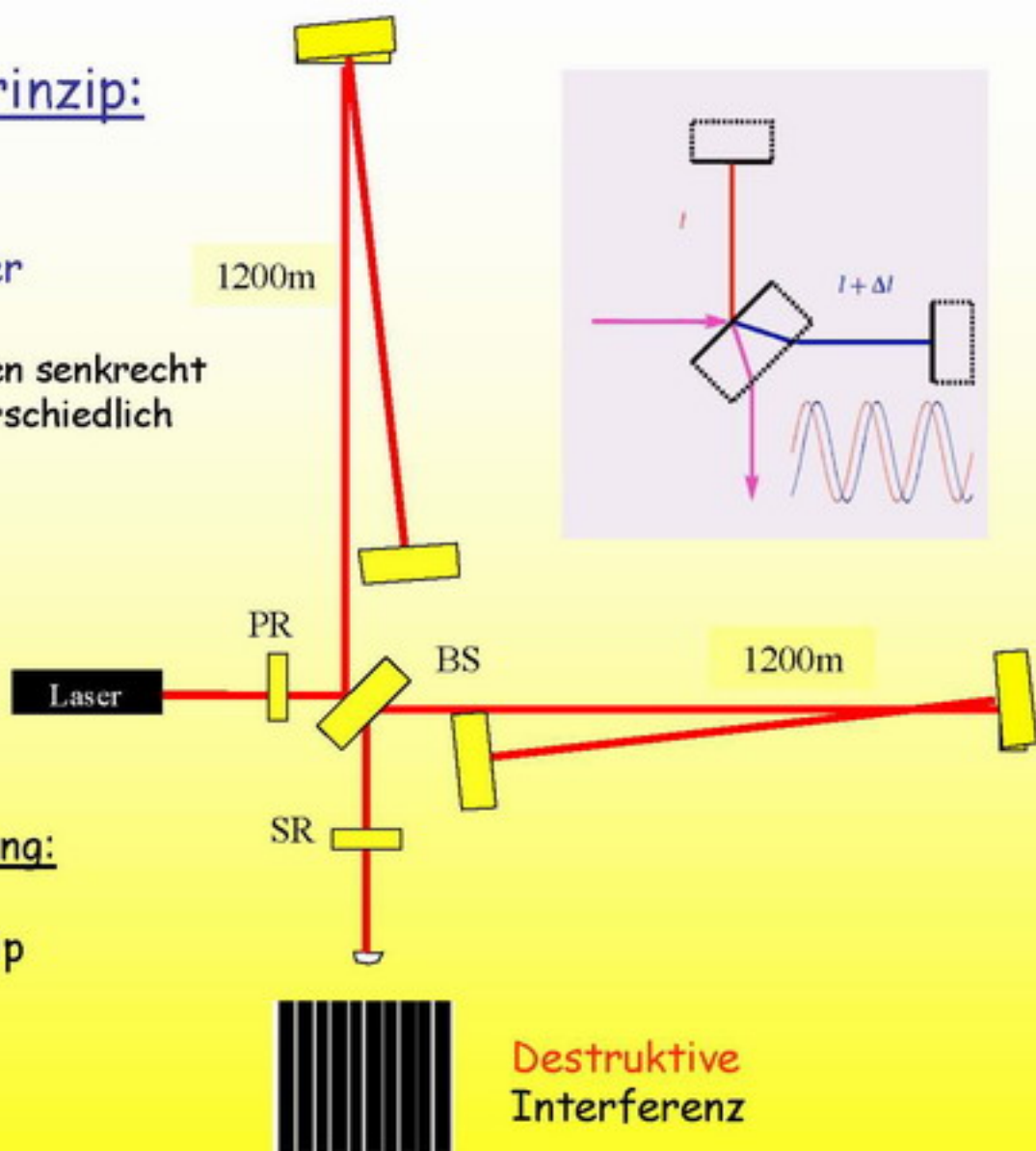
600m



• Optisches Grundprinzip:

Michelson-Interferometer

Direkter Vergleich der beiden senkrecht aufeinander stehenden unterschiedlich veränderten Strecken



• Empfindlichkeitssteigerung:

- Delay-Line-4 Prinzip
- Power-Recycling
- Signal-Recycling

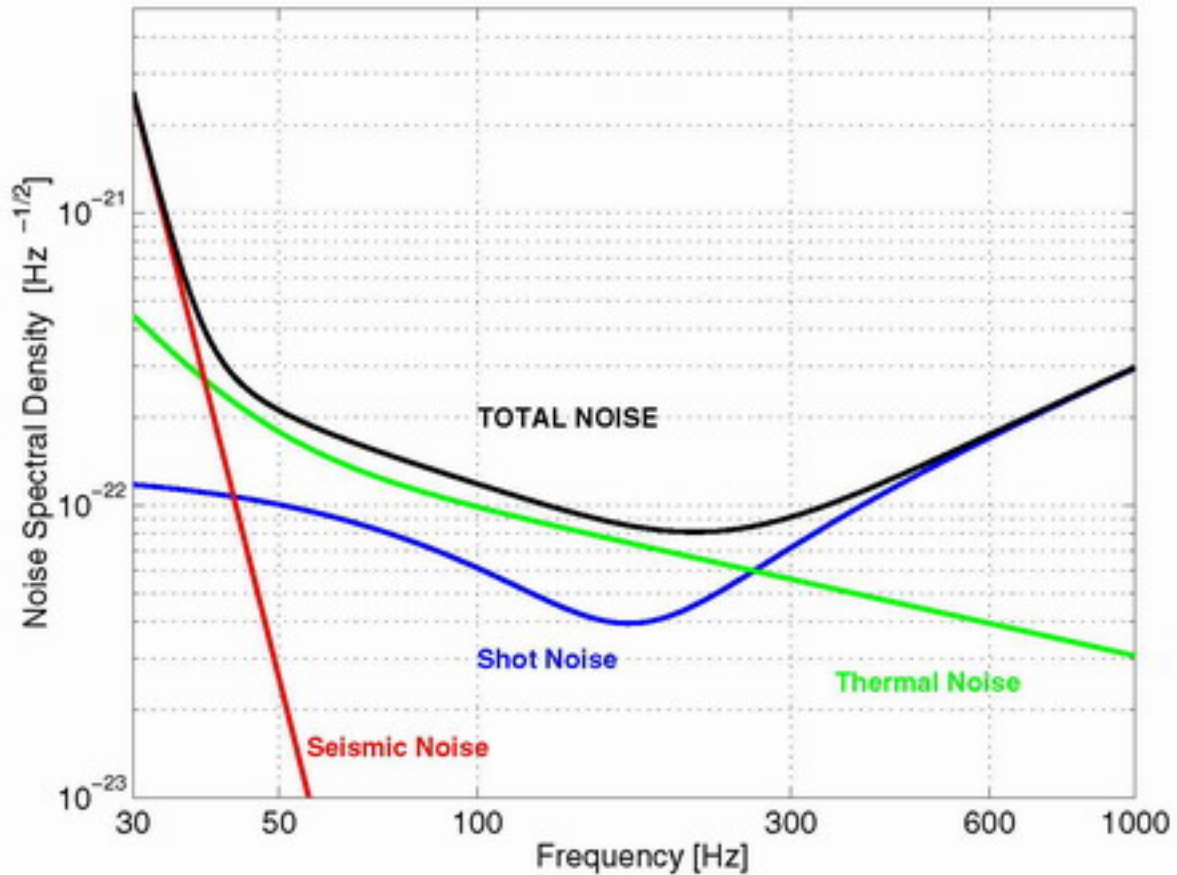
● Störquellen:

= Rauschen = alles, was ein GW-Signal vortäuscht, z.B.

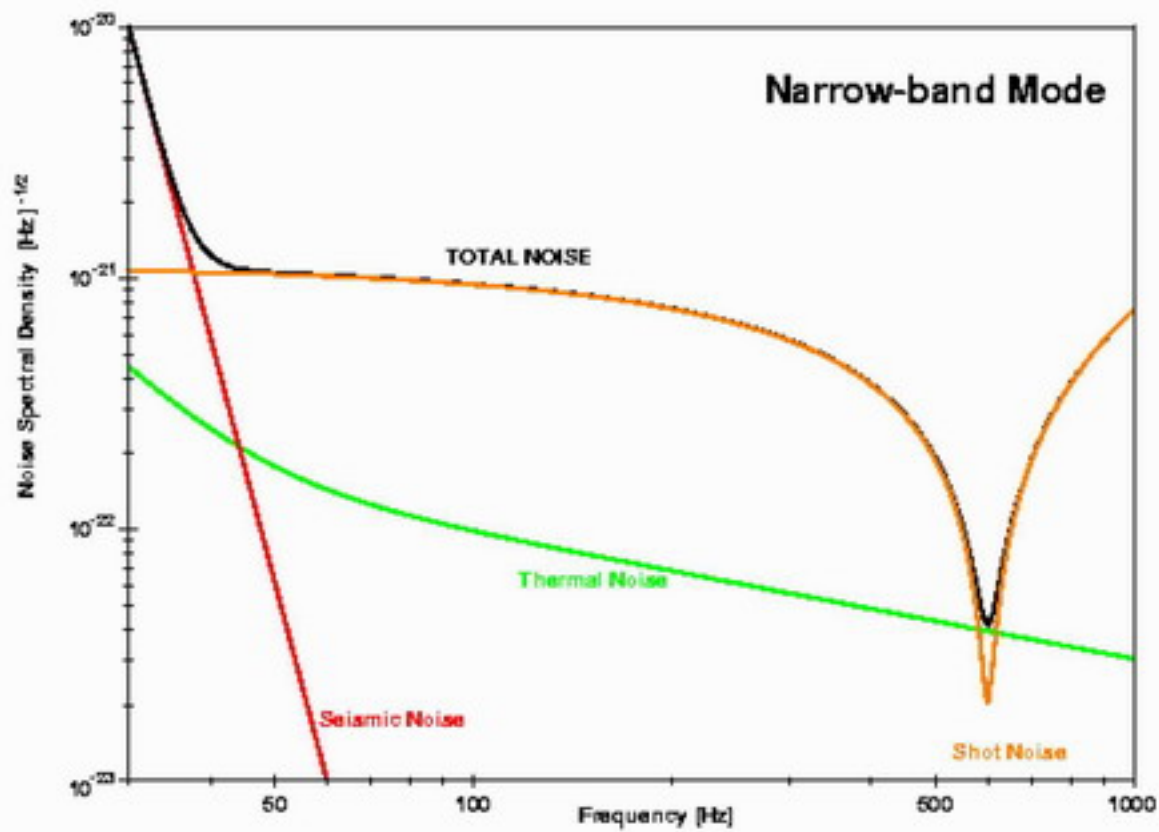
- Seismik, Fahrzeuge, Wolken, Nordseewellen, ...
- Luftbewegung (Akustik, Lichtstreuung)
- Wärmebewegung der Materialien
- Strahlungsdruck des Lichts auf die Spiegel
- Schrotrauschen

Gegenmaßnahmen: **Rauschen unterdrücken !**
oder in einen Frequenzbereich verschieben, wo es nicht stört

- Breitbandempfindlichkeit von GEO 600



- Empfindlichkeit von GEO 600



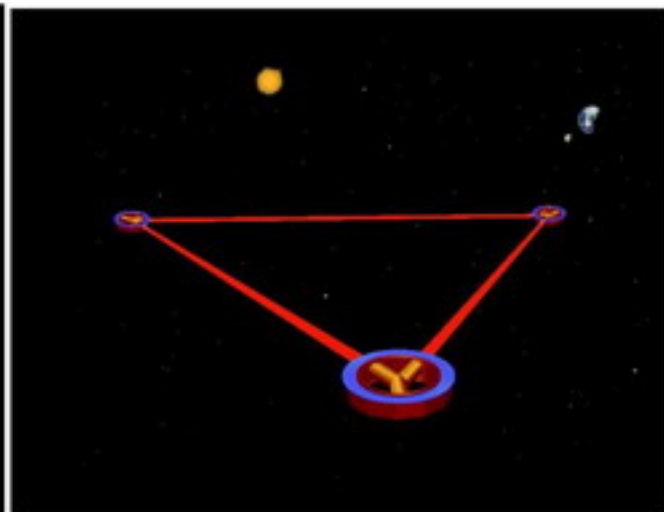
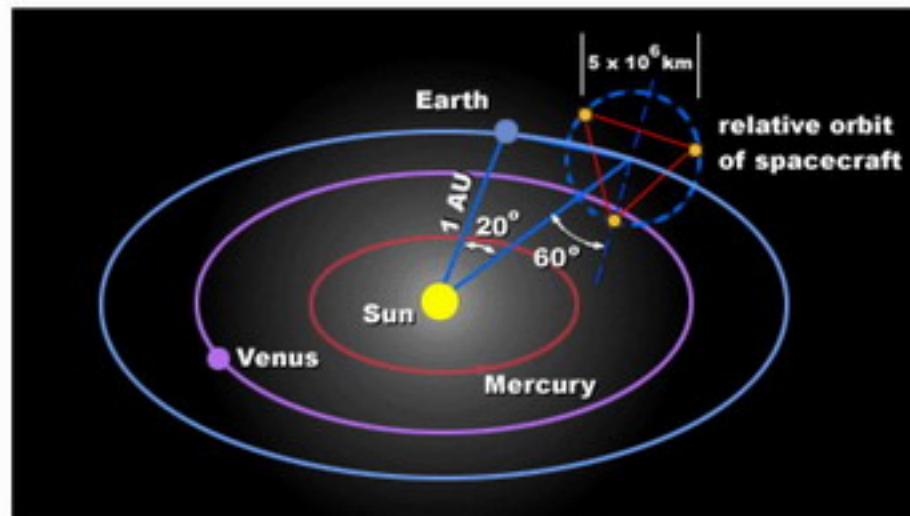
Frequenzbereich ~ 50 Hz – 1 kHz

„Laser Interferometer Space Antenna“

LISA

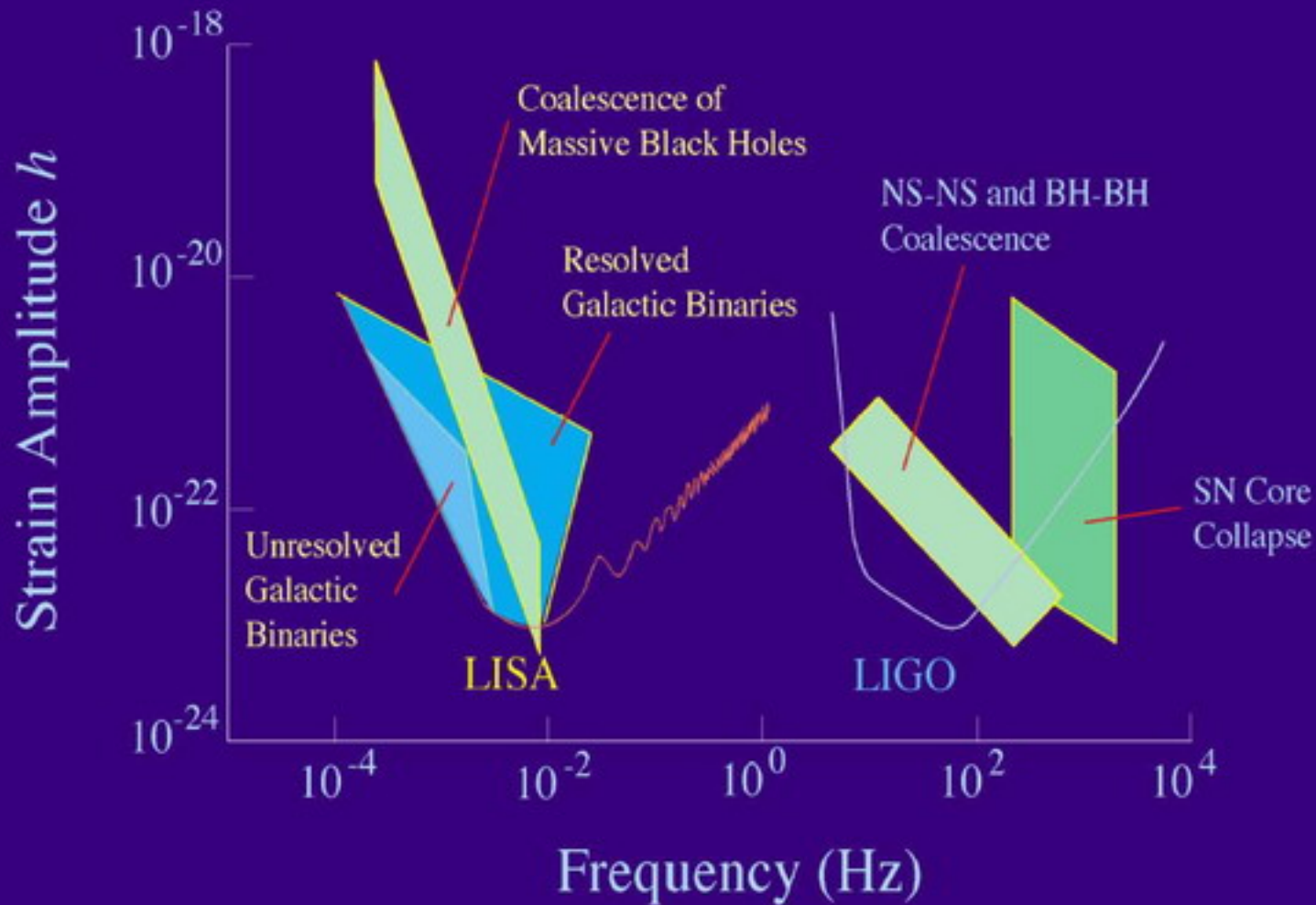


Ein Laserinterferometer im All
mit **5 Mio km Armlänge**



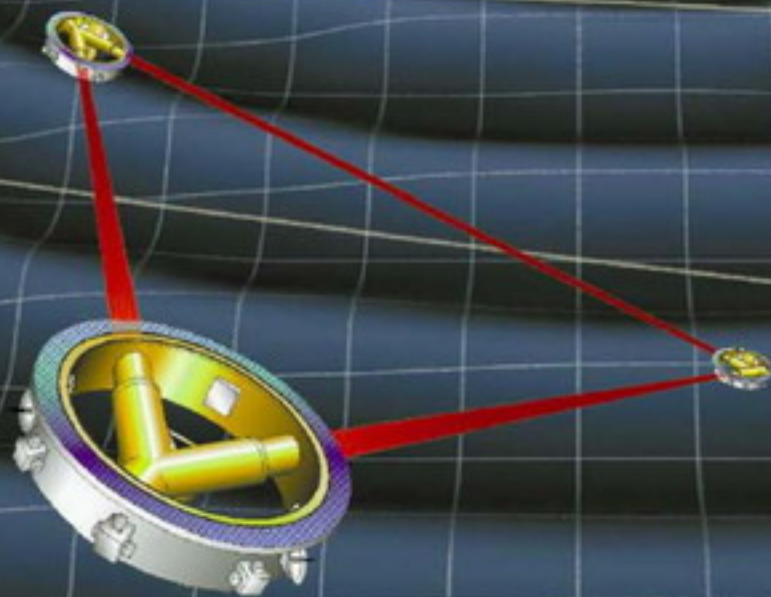
Drei Satelliten in heliozentrischer
Umlaufbahn 20° hinter der Erde

Vorgesehener Start: 2011



LISA

Laser Interferometer
Space Antenna



Jet Propulsion Laboratory
California Institute of Technology

<http://lisa.jpl.nasa.gov>